

Convegno ReLUIS



Progetto DPC_ReLUIS 2024-2026

Napoli, 13-14 ottobre 2025

WP 18 - Input sismico, normativa e microzonazione Roberto Paolucci, Sebastiano Foti





UR WP18 2024-26

N.	RESPONSABILE SCIENTIFICO	UNIVERSITÀ	DIP.	Partecipazione TASK	Responsabilità Task
1	Paolucci Roberto	Politecnico di Milano	D.I.C.A.	1-2-3	1-3
2	Sgobba Sara	INGV	INGV	2-3-4	3
3	Baltzopoulos Georgios	Università degli Studi di Napoli "Federico II"	Di.St.	1-3	1
4	Lai Carlo	Università degli Studi di Pavia	DICAr	2-3-4	4
5	Albarello Dario	Università degli Studi di Siena	DSFTA	1-2	2
6	Foti Sebastiano	Politecnico di Torino	DISEG	2	2
7	Pagliaroli Alessandro	Università di Chieti-Pescara	DIG	2	
8	Lanzo Giuseppe	Università Sapienza di Roma	DISeG	2-4	





- TASK 1 Pericolosità sismica e normativa
 (Resp. PoliMI R. Paolucci & UniNA G. Baltzopoulos)
- ➤ TASK 2 Categorizzazione sismica del sottosuolo, fattori di amplificazione nella normativa e microzonazione sismica (Resp. PoliTO, S. Foti & UniSI D. Albarello)
- > TASK 3 Terremoto di progetto e selezione di accelerogrammi (Resp. PoliMI C. Smerzini & INGV S. Sgobba)
- > TASK 4 Caratterizzazione delle componenti verticali del moto sismico per analisi strutturali (Resp. UniPV, C. Lai)

WP18 Task 1: Pericolosità sismica e normativa

state-of-art on the application of seismic hazard assessment as input for seismic hazard assessment in international seismic norms

Seismic Zone Factor

Z = 0.8

Z = 0.7

Sea of Japa

Z = 1.0

Z = 0.9



Progetto WP18

DPC - RELUIS 2024-26

Input sismico, normativa e microzonazione

Intermediate Report Deliverable WP18-D3

Overview of international norms on seismic input for design



Italy NTC18 (CS.LL.PP. 2018) Eurocode 8 (FprEN 1998-1-1:2024 TC 250) USA ASCE/SEI 7-22 New Zealand DZ TS 1170.5:2024 (Draft for public consultation) China GB50011-2010 - Code for seismic design of buildings Indian Standard Code 15 1893 - Parts 1 to 5 - Year 2016; India Draft Standard for Comments Only CED 39(22343)WC April 2023 (3) México Normas Técnicas Complementarias con Comentarios por la Ciudad de Mexico (NTC 2023) Turkey Turkish Earthquake Code (2018) Japan Earthquake Resistant Design Method for Buildings - Ministry of Land, Infrastructure and Transport 2024 Chile NCh-433-Of-1996-Mod-2009-DS-61-2011; NCh00433-2022-043 Switzerland SIA:2061:2003 Ελληνικός Αντισεισμικός Κανονισμός: Υ.Α. Δ17α/115/9/ΦΝ275/2003 ΦΕΚ1154/Β`12.8.2003

Table 1. International norms considered for this overview

USGS National Seismic Hazard Maps - Research aricle

The 2023 US 50-State **National Seismic Hazard** Model: Overview and implications

Country Name

Normative Document

- (1) Definition of seismic actions for design
 - (a) Regularized spectral shape, based on few hazard-related parameters
 - (b) Uniform hazard spectrum
 - (c) Deterministic design spectrum
- (2) Classification of the national territory
 - (a) Zone-based: no
 - (b) Site-specific, map-based
- (3) Target structural performance
 - (a) Limit states and importance categories
 - (b) Association of limit states with return periods
 - (c) Association with deterministically determined earthquakes
- (4) Site categorization, reference site and site amplification factors
- (5) Vertical Spectrum
- (6) Criteria for ground motion selection and scaling
 - (a) Classes of accelerograms
 - (b) Selection criteria
 - (c) Scaling
 - (d) Selection and scaling in "special" conditions
- (7) Conventional "design earthquake" (M, R)
- (8) Miscellanea
 - (a) other peak-value parameters for design (e.g., PGV)
 - (b) criteria to account for "complex" site conditions





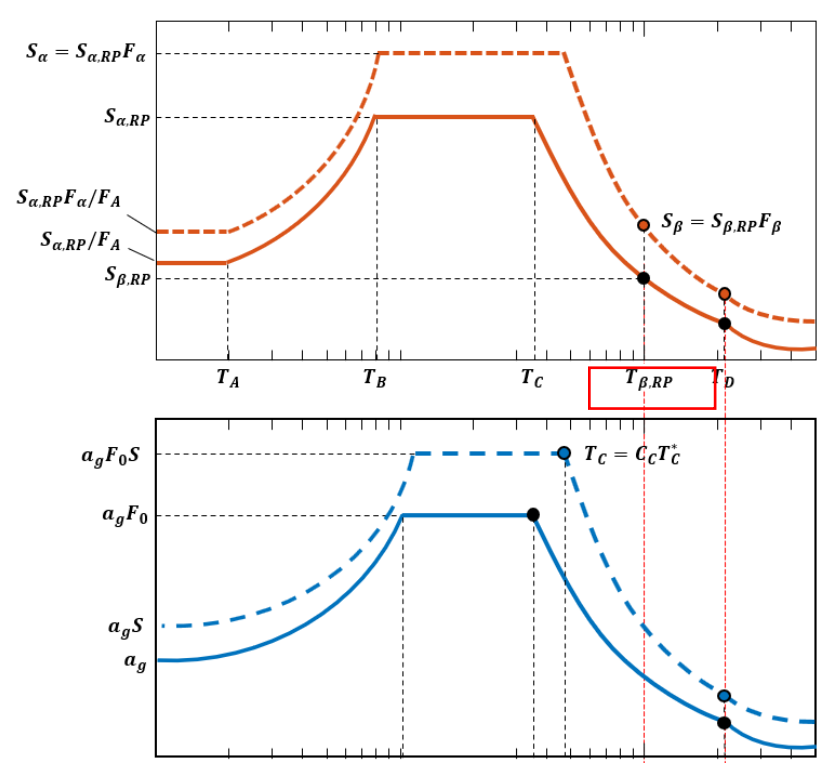
- TASK 1 Pericolosità sismica e normativa
 (Resp. PoliMI R. Paolucci & UniNA G. Baltzopoulos)
- TASK 2 Categorizzazione sismica del sottosuolo, fattori di amplificazione nella normativa e microzonazione sismica (Resp. PoliTO, S. Foti & UniSI – D. Albarello)
- > TASK 3 Terremoto di progetto e selezione di accelerogrammi (Resp. PoliMI C. Smerzini & INGV S. Sgobba)
- > TASK 4 Caratterizzazione delle componenti verticali del moto sismico per analisi strutturali (Resp. UniPV, C. Lai)

Stato dell'arte: amplificazione stratigrafica nelle normative internazionali

NTC18

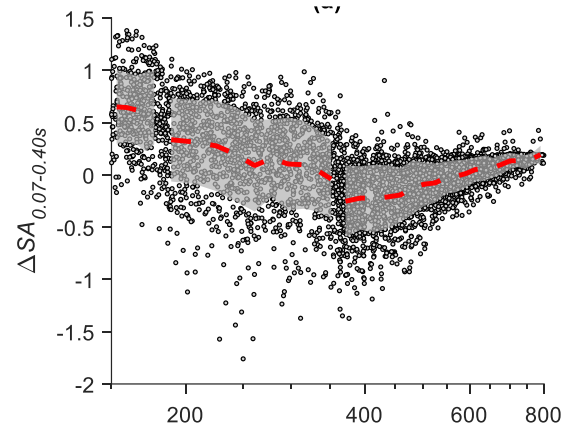


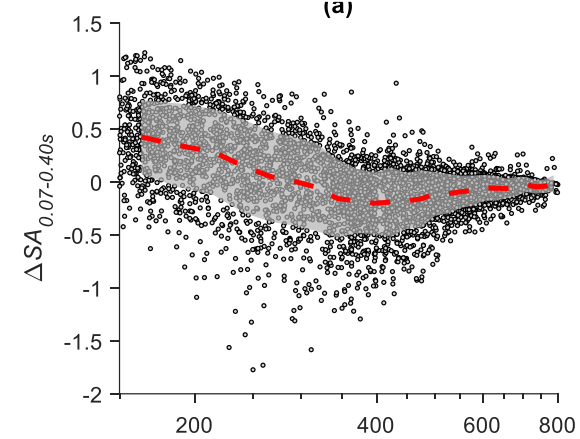
Coefficient-based approaches



Medium-seismicity level – PGA = 0.18g

2nd Gen of EC8 (2025)

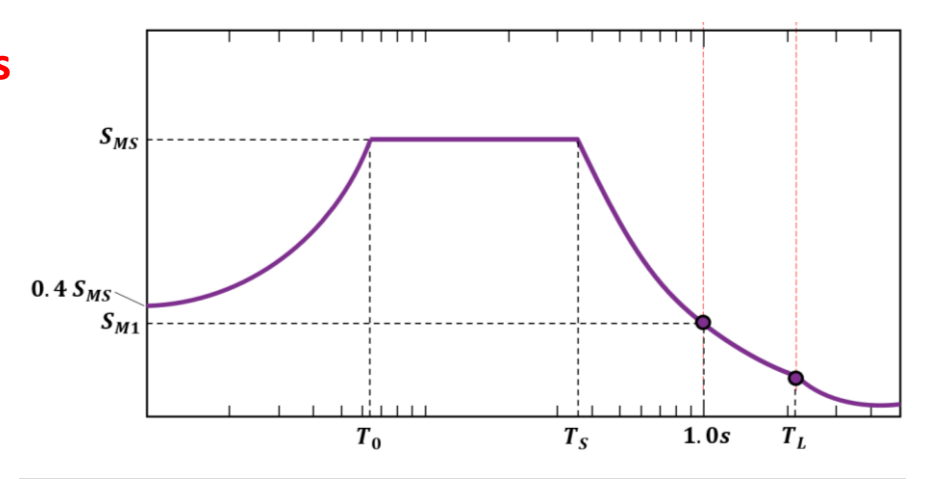


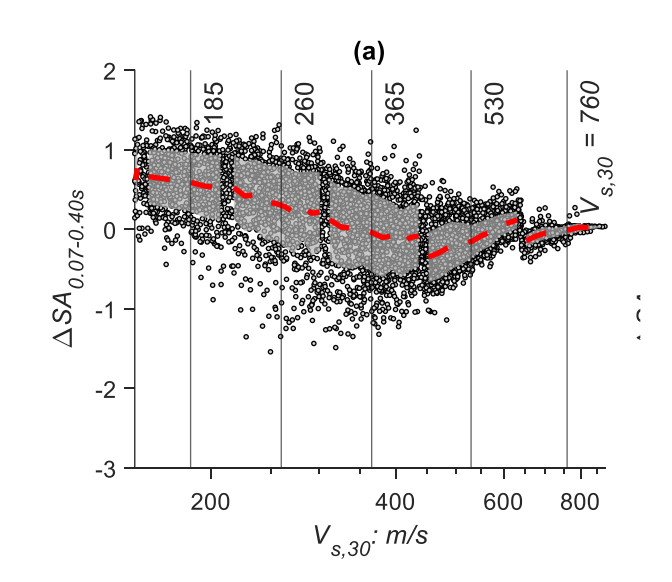


Probabilistic class-based approaches

Mapped site-specific response spectra – Based on NSHMs:

ASCE 7-22 NBCC 2020 (Canada) DZ TS 1170.5:2024 (New Zealand)

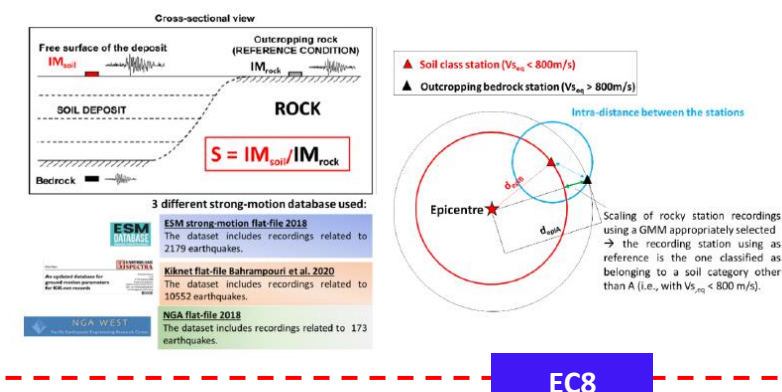


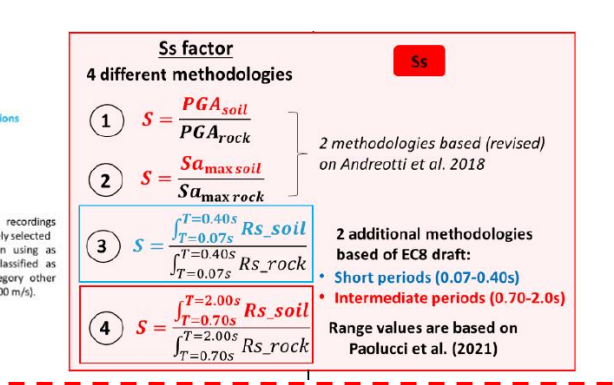


Revisione dei fattori di amplificazione stratigrafica nelle normative (NTC2028 & EC8 2nd gen)

DEFINITION OF HAZARD-DEPENDENT SOIL FACTORS **NUMERICAL** (site response analysis)

REAL GROUND MOTION DATA





F_a - Suolo C - V_{S H} min

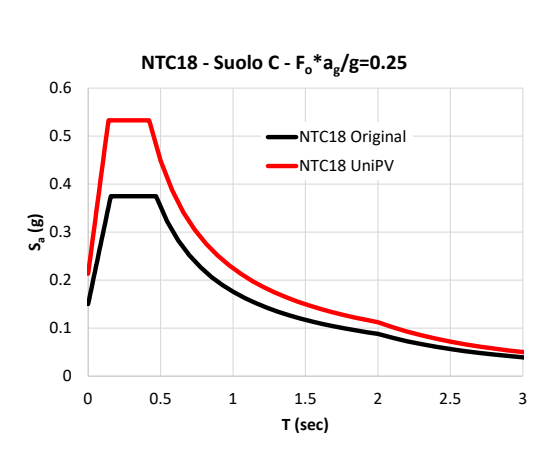
EC8 2024 - UniPV

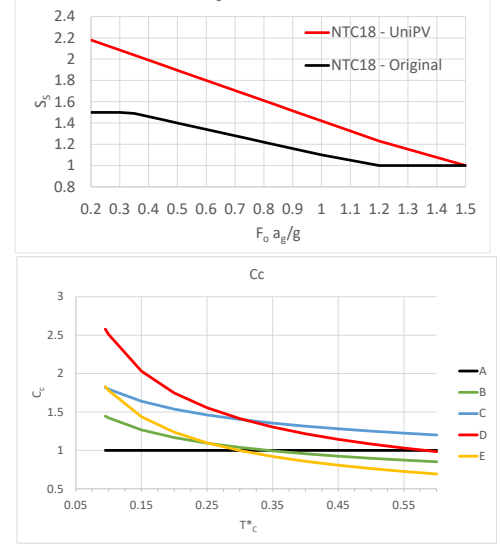
EC8 2024 - Original

NTC18

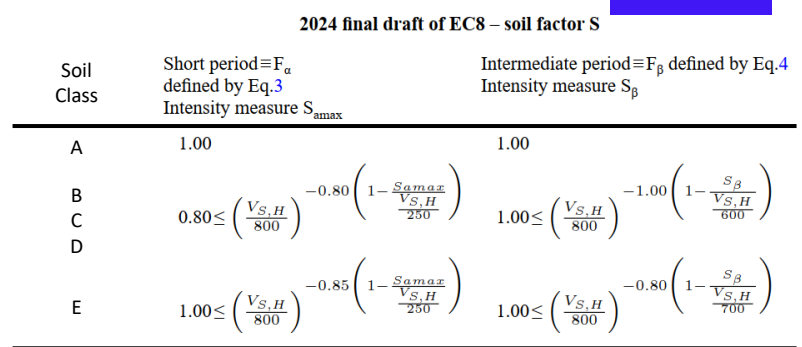
	Italian building code NTC18 Soil factor Ss						
Soil class	Sa-max	Short period					
A	1.00	1.00					
В	$1.00 \le 1.72 - 0.36 \; F_0 \; a_g$	$1.00 \le 1.88 - 0.46 \; \mathrm{F_0} \; \mathrm{a_g}$					
C	$1.00 \le 2.09 - 0.76 \mathrm{F_0} \mathrm{a_g}$	$1.00 \le 2.37 - 0.95 \; F_0 \; a_g$					
D	$0.80 \le 1.60 - 0.64 \; \mathrm{F_0} \; \mathrm{a_g}$	$0.80 \le 1.20 - 0.45 \mathrm{F_0} \mathrm{a_g}$					
E	$1.00 \le 2.28 - 0.72 \; \mathrm{F_0} \; \mathrm{a_g}$	$1.00 \le 2.02 - 0.68 \; \text{F}_0 \; \text{a}_{\text{g}}$					

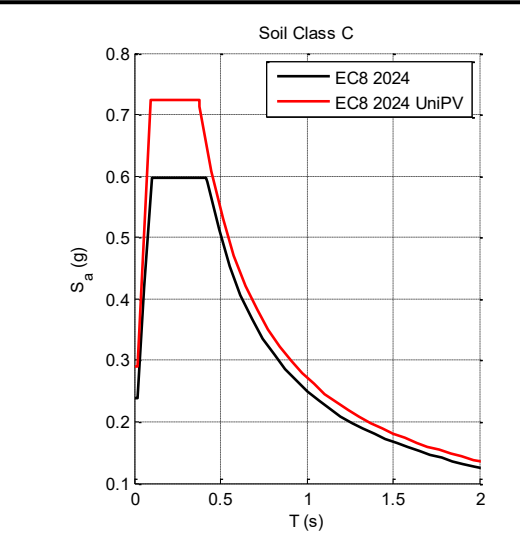
Soil	$C_C = \frac{T_C}{T^*}$
class	1 _C
A	1.00
В	0.735 Te*-0.287
C	1.070 Tc* ^{-0.225}
D	0.753 Tc*-0.523
Е	0.529 Tc*-0.527

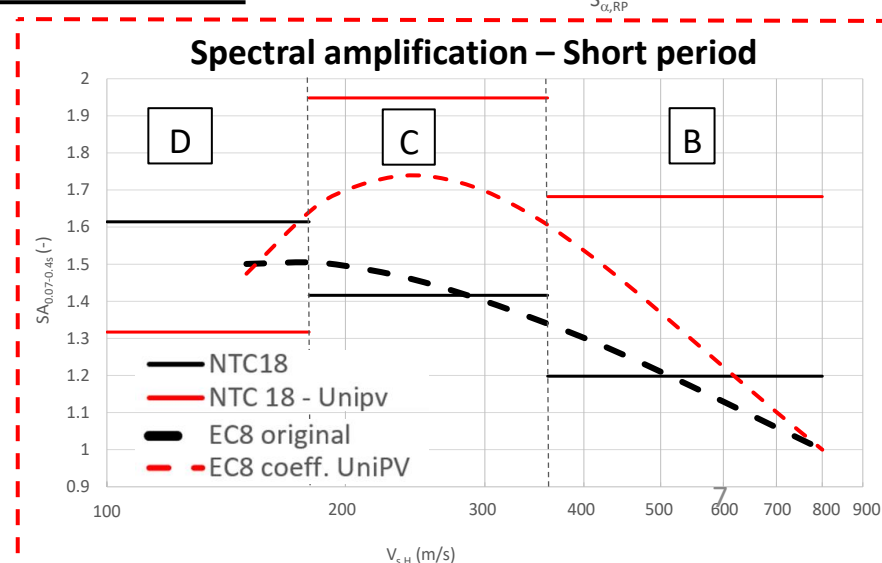




S_s - Suolo C







2.4

2.2

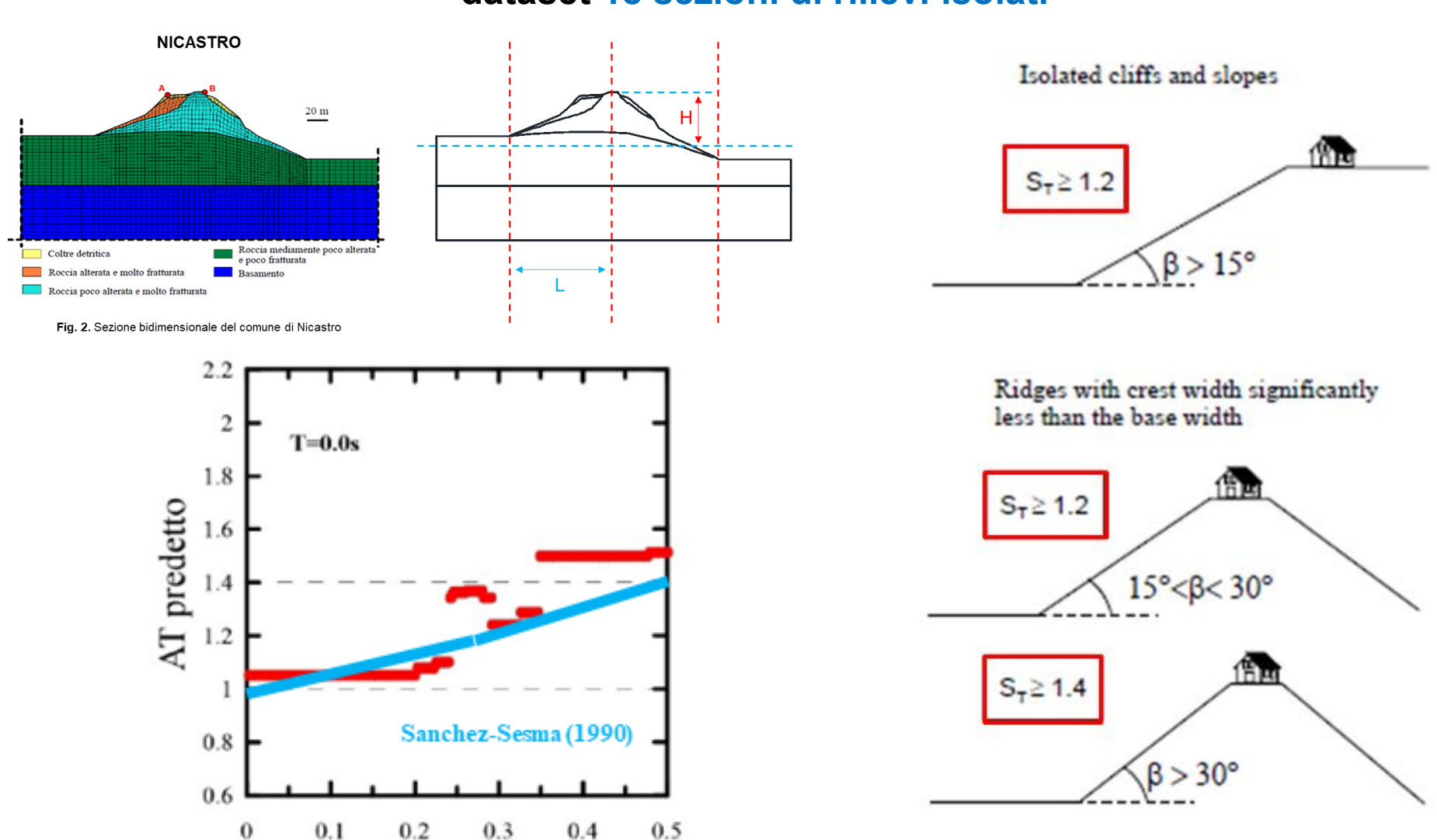
1.8

0.8

ப்[≅] 1.6 1.4 1.2

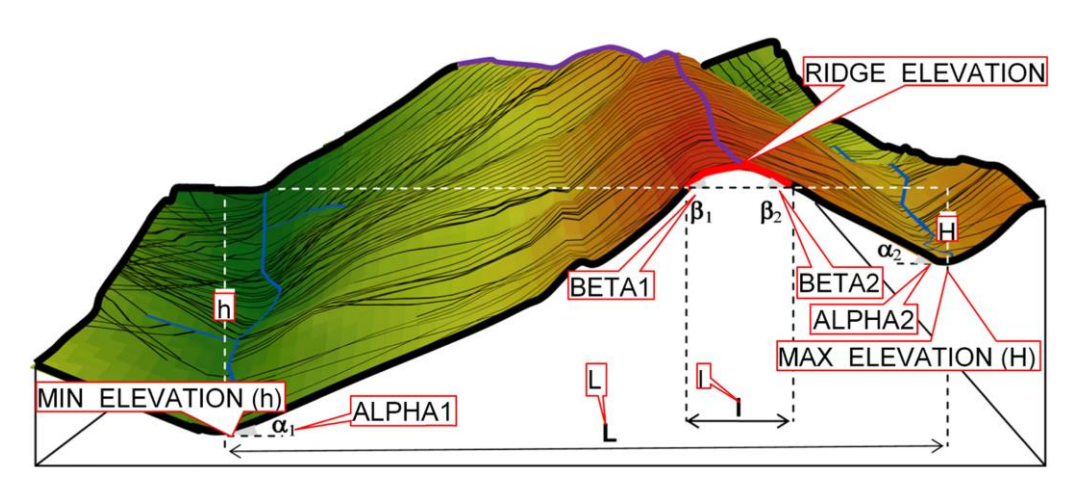
Modello Machine Learning per il fattore di amplificazione topografica sulla base di parametri geometrici, geotecnici e sismici

dataset 18 sezioni di rilievi isolati



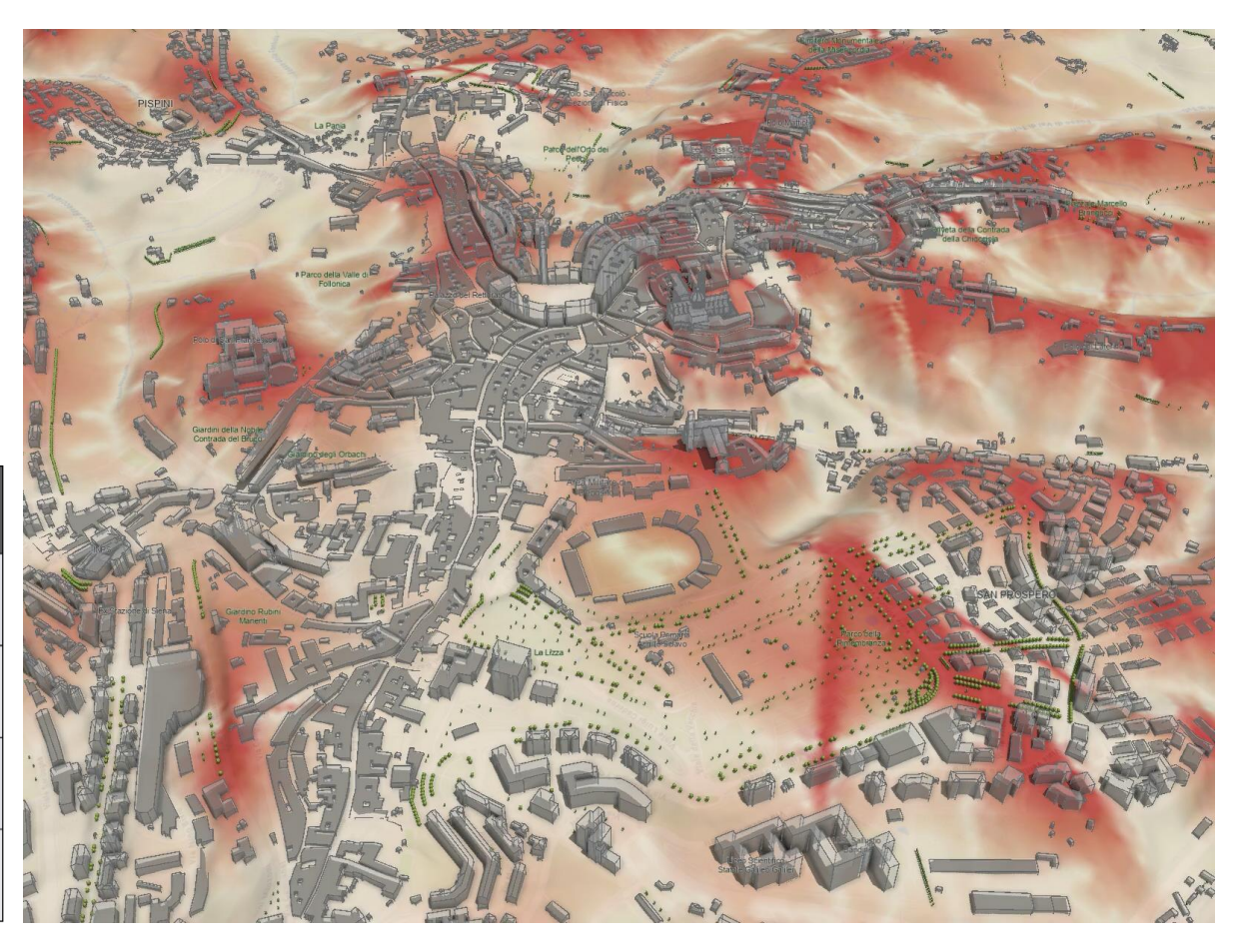
H/L

Metodologia automatica per la stima del **fattore di amplificazione** topografica secondo le NTC18 in contesti morfologici reali con la massima risoluzione disponibile del **DEM**



Topographic Category	Characteristics of the topographic surface	
T1	Flat surface, slopes and isolated reliefs with average inclination $\mathbf{i} \leq 15^{\circ}$	1
T2	Slopes with average inclination > 15°	1.2
Т3	Reliefs with width at the crest much smaller than at the base and average inclination $15^{\circ} \le i \le 30^{\circ}$	1.2
T4	Reliefs with width at the crest much smaller than at the base and average inclination > 30°	1.4

risultato relativo al centro storico di Siena





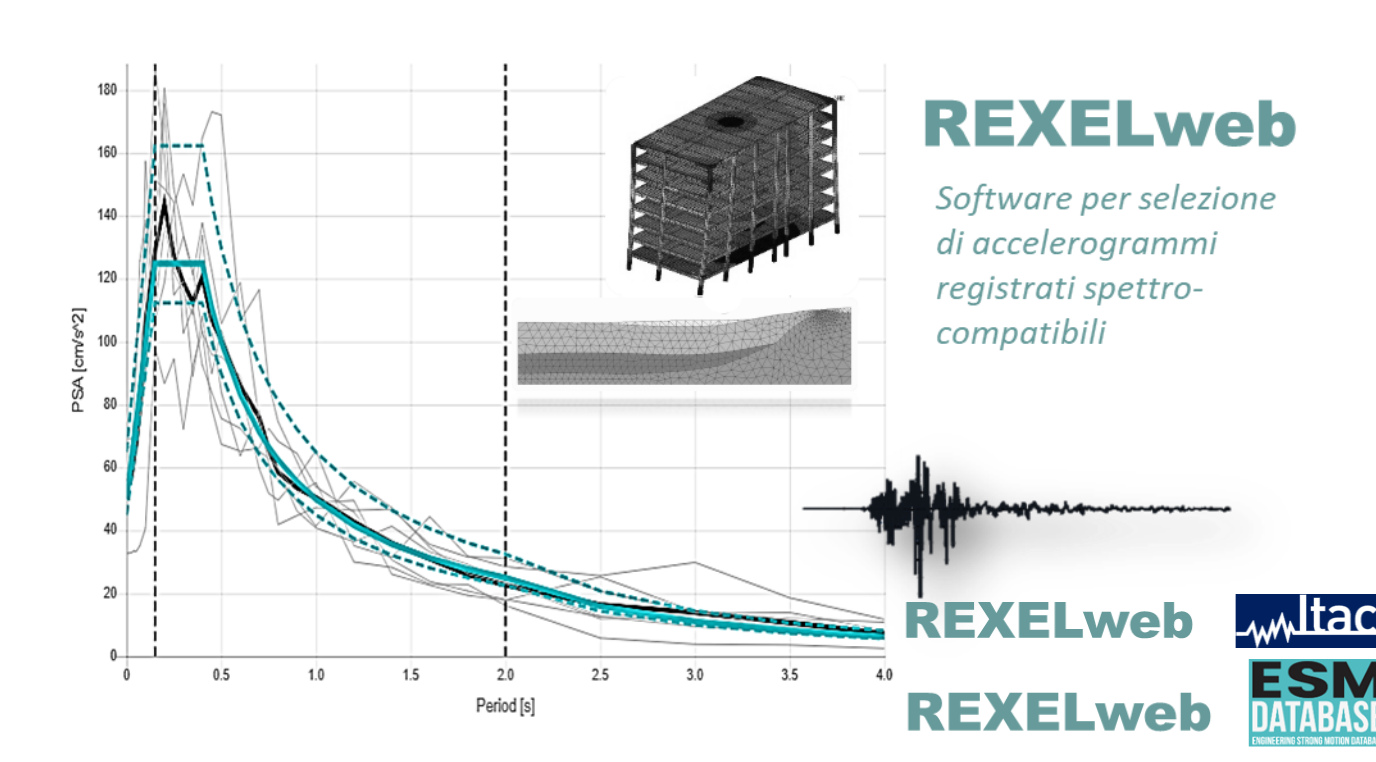


- TASK 1 Pericolosità sismica e normativa
 (Resp. PoliMI R. Paolucci & UniNA G. Baltzopoulos)
- ➤ TASK 2 Categorizzazione sismica del sottosuolo, fattori di amplificazione nella normativa e microzonazione sismica (Resp. PoliTO, S. Foti & UniSI D. Albarello)
- ➤ TASK 3 Terremoto di progetto e selezione di accelerogrammi (Resp. PoliMI C. Smerzini & INGV S. Sgobba)
- > TASK 4 Caratterizzazione delle componenti verticali del moto sismico per analisi strutturali (Resp. UniPV, C. Lai)

Task 3: miglioramento dei criteri e degli strumenti di selezione di accelerogrammi spettro-compatibili

Tool di selezione spettro-compatibile

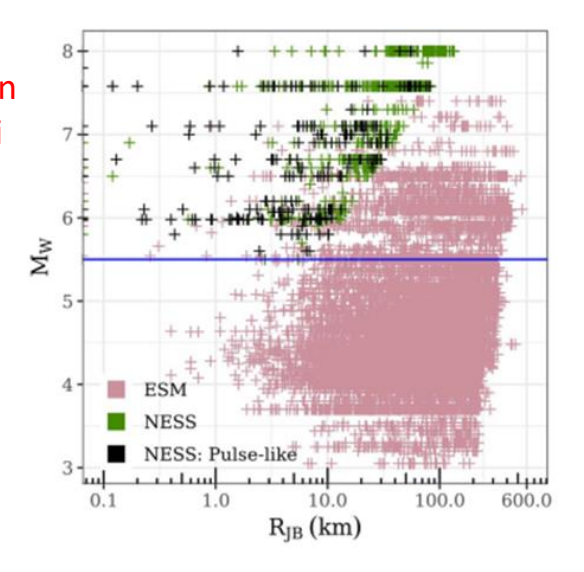
Miglioramento del tool di selezione **RexelWEB** attraverso l'implementazione di nuove funzionalità utili a soddisfare le crescenti esigenze dei professionisti nei settori geotecnico e strutturale



Tasks 2024-2026

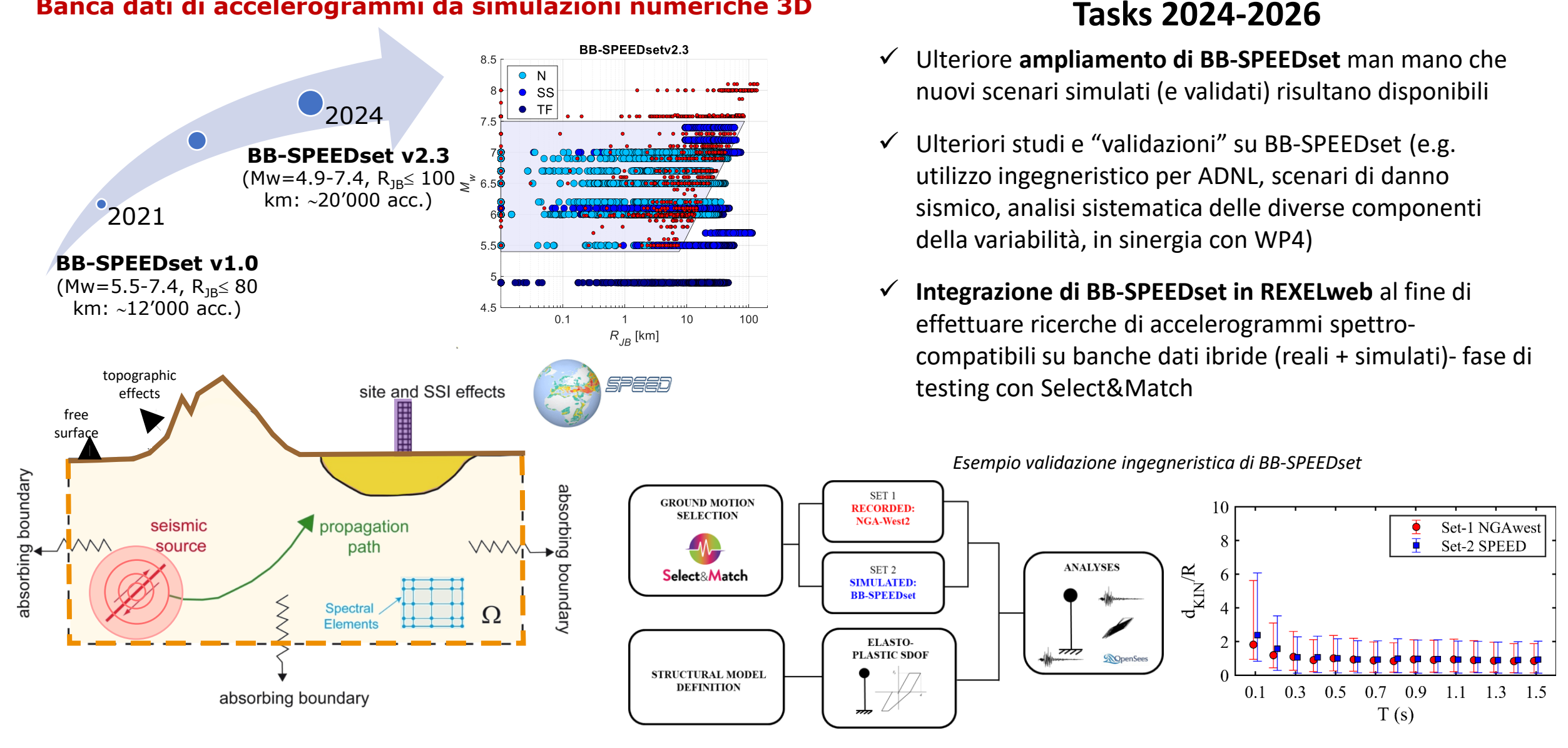
- Aggiornamento ed espansione delle **banche dati** di accelerogrammi, sia da registrazioni di terremoti reali in **campo vicino** che da simulazioni numeriche
- Valutazione e implementazione di vari criteri per definire lo spettro obiettivo nella selezione di accelerogrammi spettro-compatibili alla luce del nuovo contesto normativo
- Inclusione di criteri di compatibilità spettrale con un focus sulla selezione multi-componente (aggiornamento normativo, introduzione di obiettivi per la componente verticale in linea con lo stato dell'arte più recente, proposta V/H ReLUIS ecc.)
- Definizione del Terremoto di Progetto: stato dell'arte e nuove proposte

Ampliamento della base dati in campo vicino da dati registrati (NESS2 – Sgobba et al., 2021 e sintetici BB-SPEEDset – Paolucci et al. 2021)



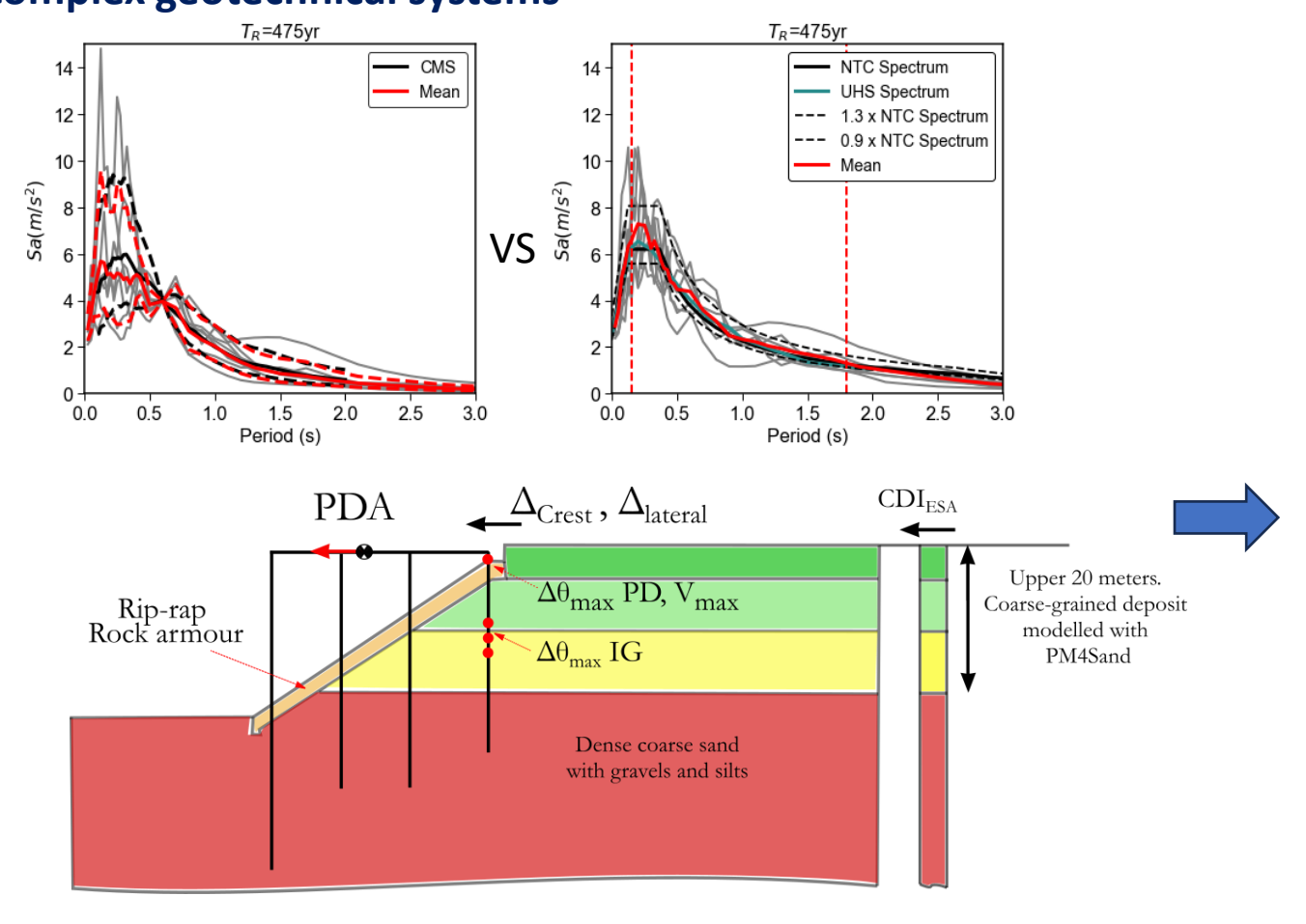
Task 3: integrazione di dataset di accelerogrammi registrati e simulati

Banca dati di accelerogrammi da simulazioni numeriche 3D



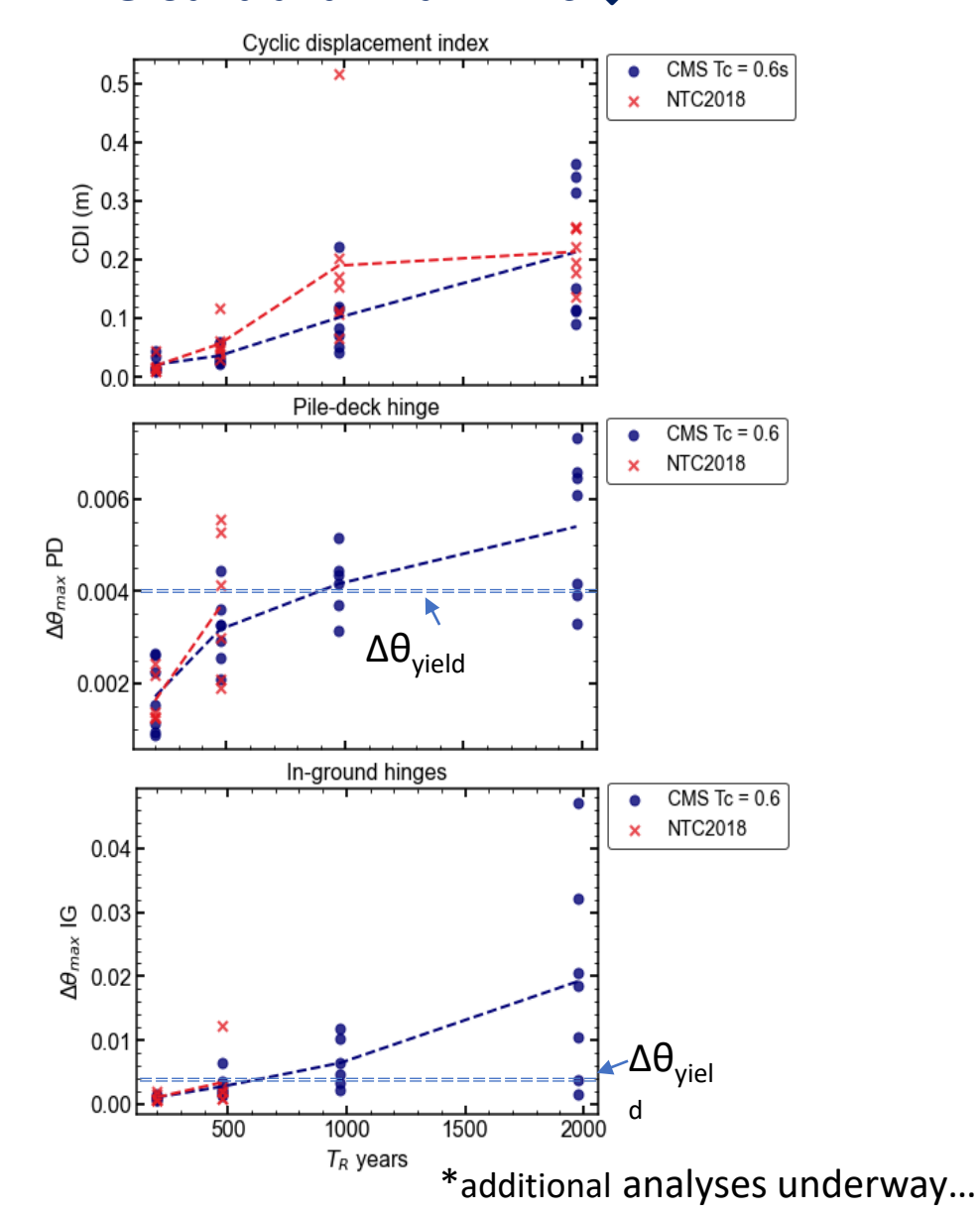
WP18 Task 3: Terremoto di progetto e selezione di accelerogrammi

Effects of ground motion selection procedures on the response of complex geotechnical systems



Fully coupled 2D, plane strain, effective stress, DSSI analyses. Nonlinear soil + Nonlinear wharf

Ground and wharf EDPs ↓

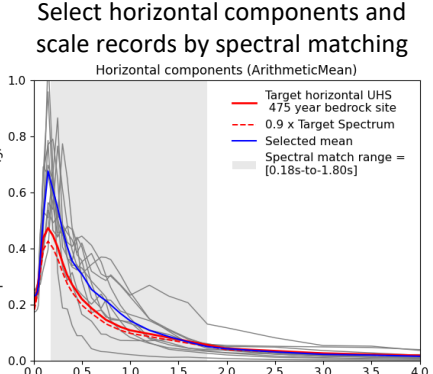


WP18 Task 3: Terremoto di progetto e selezione di accelerogrammi

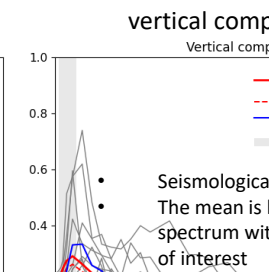
Impact of Seismic Input Selection Criteria (UHS vs CMS) on the Nonlinear Response of Reinforced Concrete Structures with Emphasis on Vertical Motion

Site Specific UHS

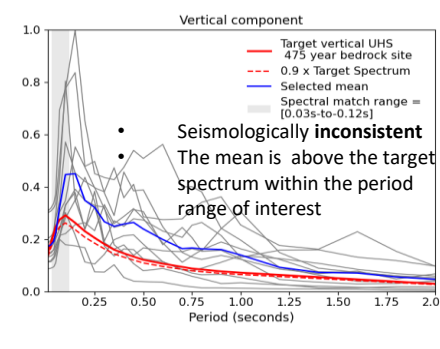
For 6 Storey Regular Frame $T_1 = 0.9$ s and $T_v = 0.06$ s Approach 1



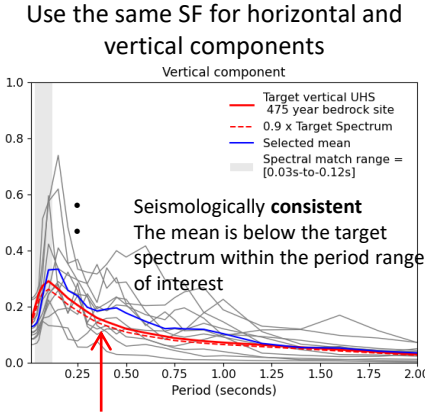
Record selection



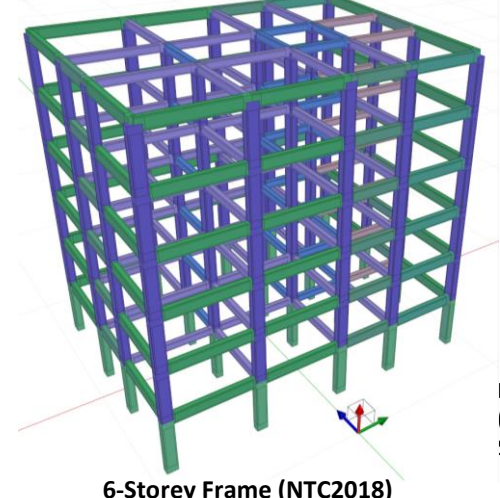


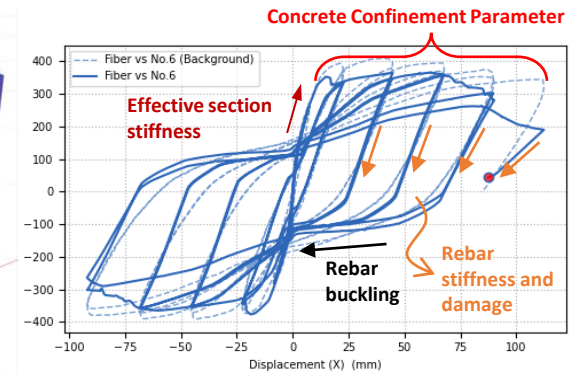


 $[0.5T_V \text{ to } 2T_V]$









Element calibration (solid line) to cyclic column tests (dashed line) by Tanaka and Park 1990, No.6 - PEER Structural Performance Database

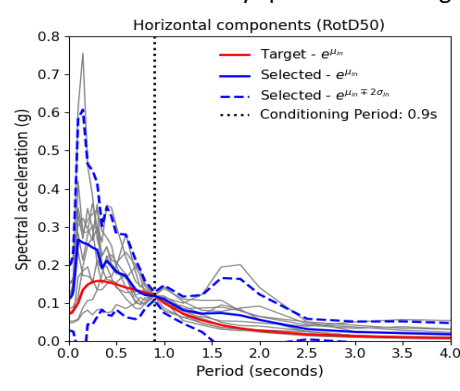
Conditional Mean Spectrum

 $[0.5T_1 \text{ to } 2T_1]$

Record selection

Period (seconds)

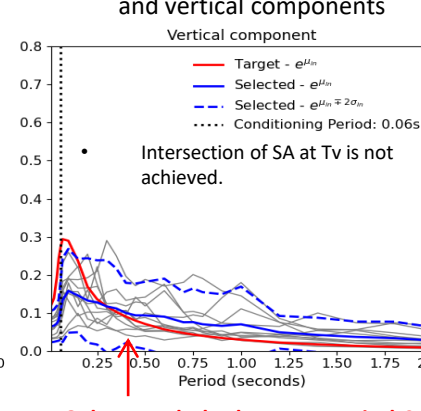
Select horizontal components and scale records by spectral matching





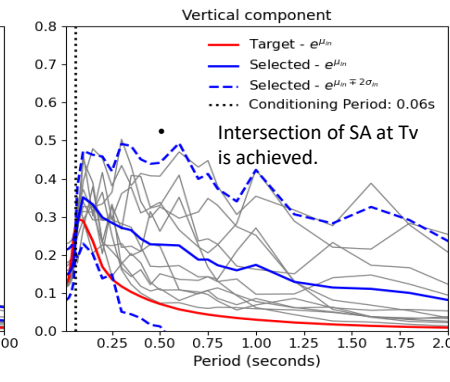
 $[0.5T_{V} \text{ to } 2T_{V}]$

Use the same SF for horizontal and vertical components



Approach 2

Compute a separate SF for vertical components



Gulerce and Abrahamson vertical CMS

How would a multi-component record selection strategy that also considers vertical target spectrum and Tv change the assessment results?

Proposed Multi-Component Approach

E(SF) is the 3-component error function for a single record:

$$E(SF) = \frac{1}{W} \sum_{i=0}^{T_N} \omega_H(T_i) \cdot [\mathbf{SF} \times Sa_H(T_i) - \mu_H(T_i)]^2 + \\ \lambda \cdot P(SF, T_i)$$

- λ and $P(SF, T_i)$ penalizes events that are 10% lower than the target spectra.
- $\omega_H(T_i) = \begin{cases} 1, Ti \in [0.5T_1, 2T_1] \\ 0, & othwerwise \end{cases} \text{ and } \omega_V(T_i) =$



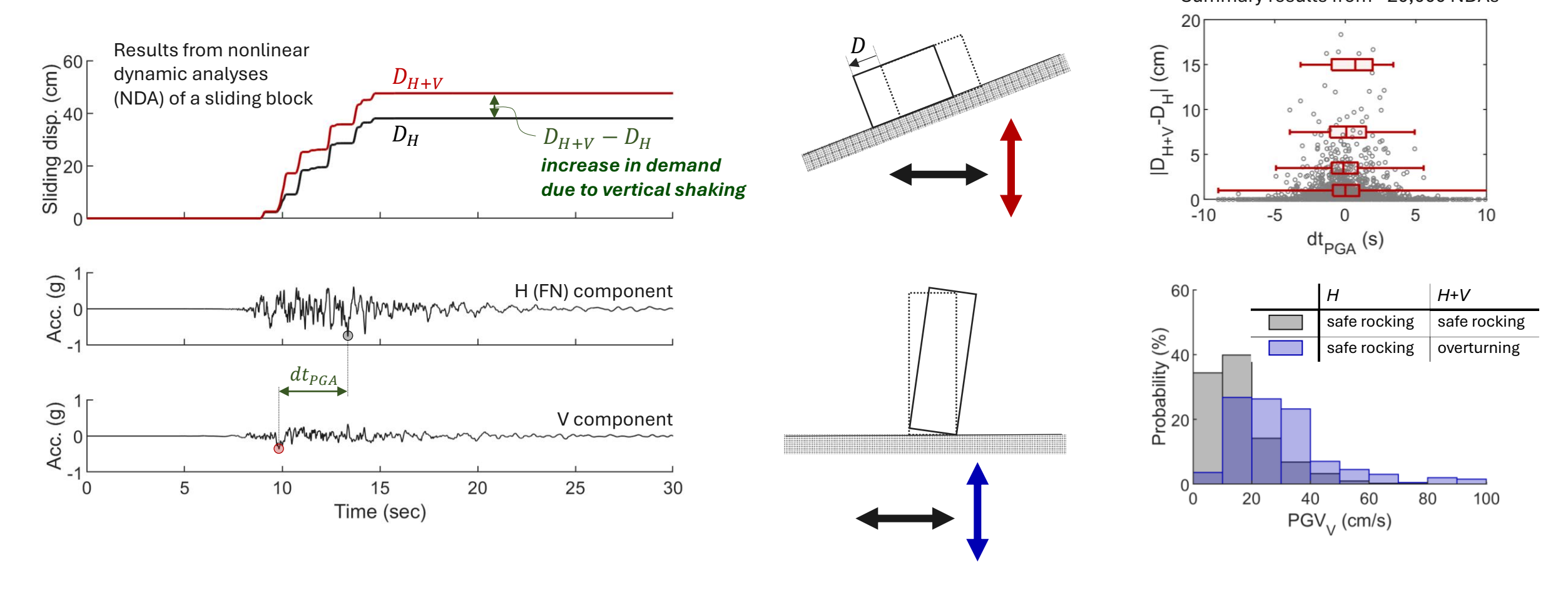


- TASK 1 Pericolosità sismica e normativa
 (Resp. PoliMI R. Paolucci & UniNA G. Baltzopoulos)
- ➤ TASK 2 Categorizzazione sismica del sottosuolo, fattori di amplificazione nella normativa e microzonazione sismica (Resp. PoliTO, S. Foti & UniSI D. Albarello)
- > TASK 3 Terremoto di progetto e selezione di accelerogrammi (Resp. PoliMI C. Smerzini & INGV S. Sgobba)
- > TASK 4 Caratterizzazione delle componenti verticali del moto sismico per analisi strutturali (Resp. UniPV, C. Lai)

<u>Task 4:</u> Characterization of the vertical components of seismic motion for structural analysis

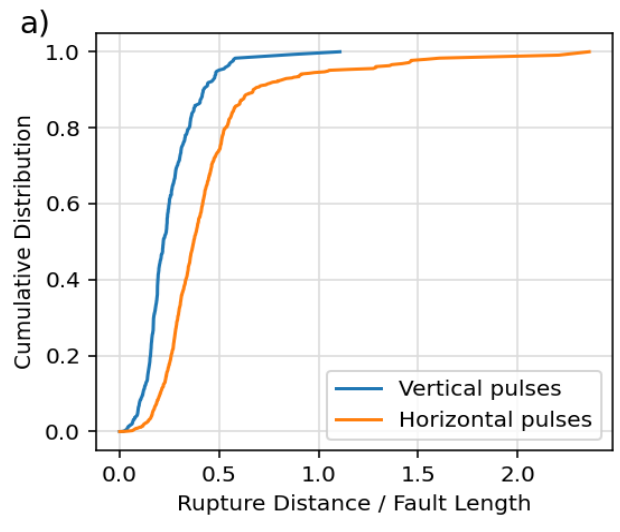
<u>Current objective:</u> to identify *intensity measures* and/or *synchronism parameters* that best correlate with the increase in seismic demand due to the vertical seismic action.

Summary results from ~20,000 NDAs



Overarching goal: define specific conditions under which designers should account for the effects of vertical shaking & synchronism (i.e. near-simultaneous arrival of strong H and V components of ground motion).

☐ Impulsi Verticali



- 18% (NESS2.0) e 35% (BB-SPEEDset) mostrano impulsi anche sulla componente verticale. Nella maggior parte dei casi sincroni
- ✓ Gli impulsi verticali compaiono soprattutto in terremoti di alta magnitudo (Mw > 6.5), con meccanismo di fagliazione normale e a distanze ≤ 1 lunghezza di faglia.

1200

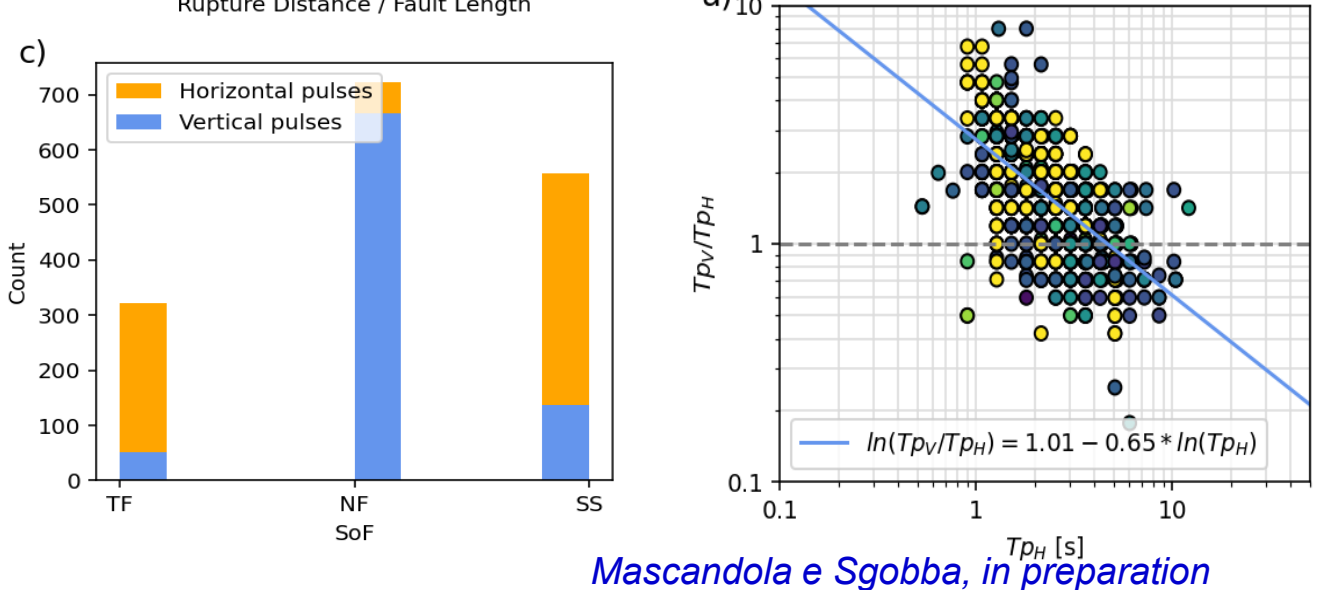
1000

800

600

400

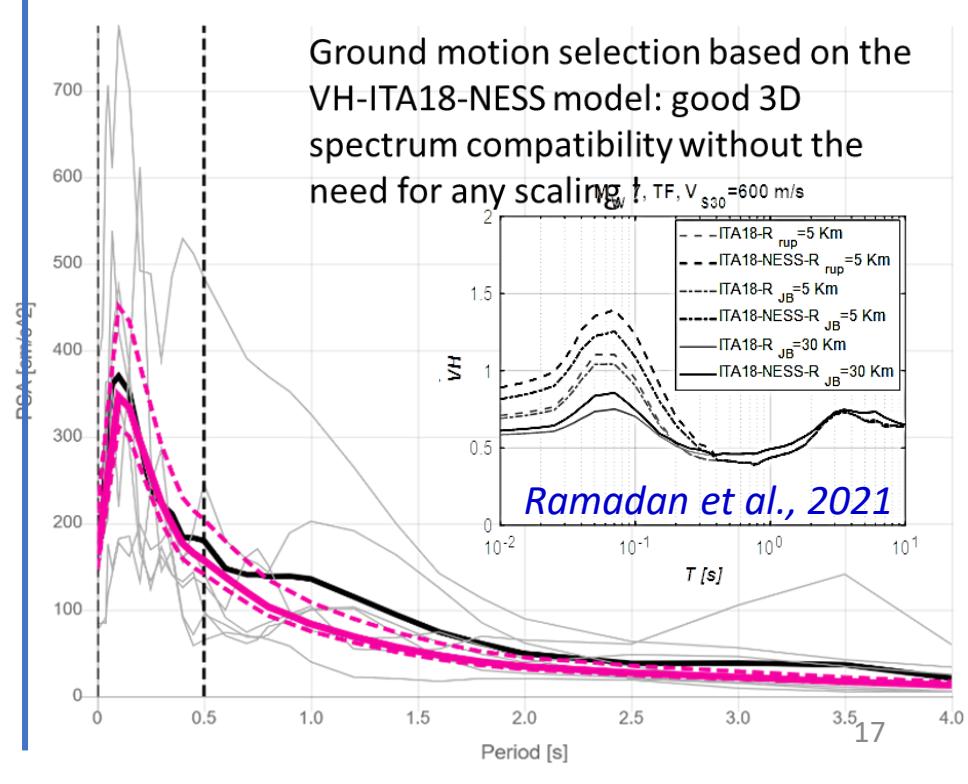
200



☐ Spettro-compatibilità 3D

✓ **Spettro-compatibilità** sulla media delle 14 registrazioni (7 coppie di registrazioni) → molto difficile trovare soluzioni con spettro verticale **NTC18**, ampiezze e contenuto in frequenza non compatibile!

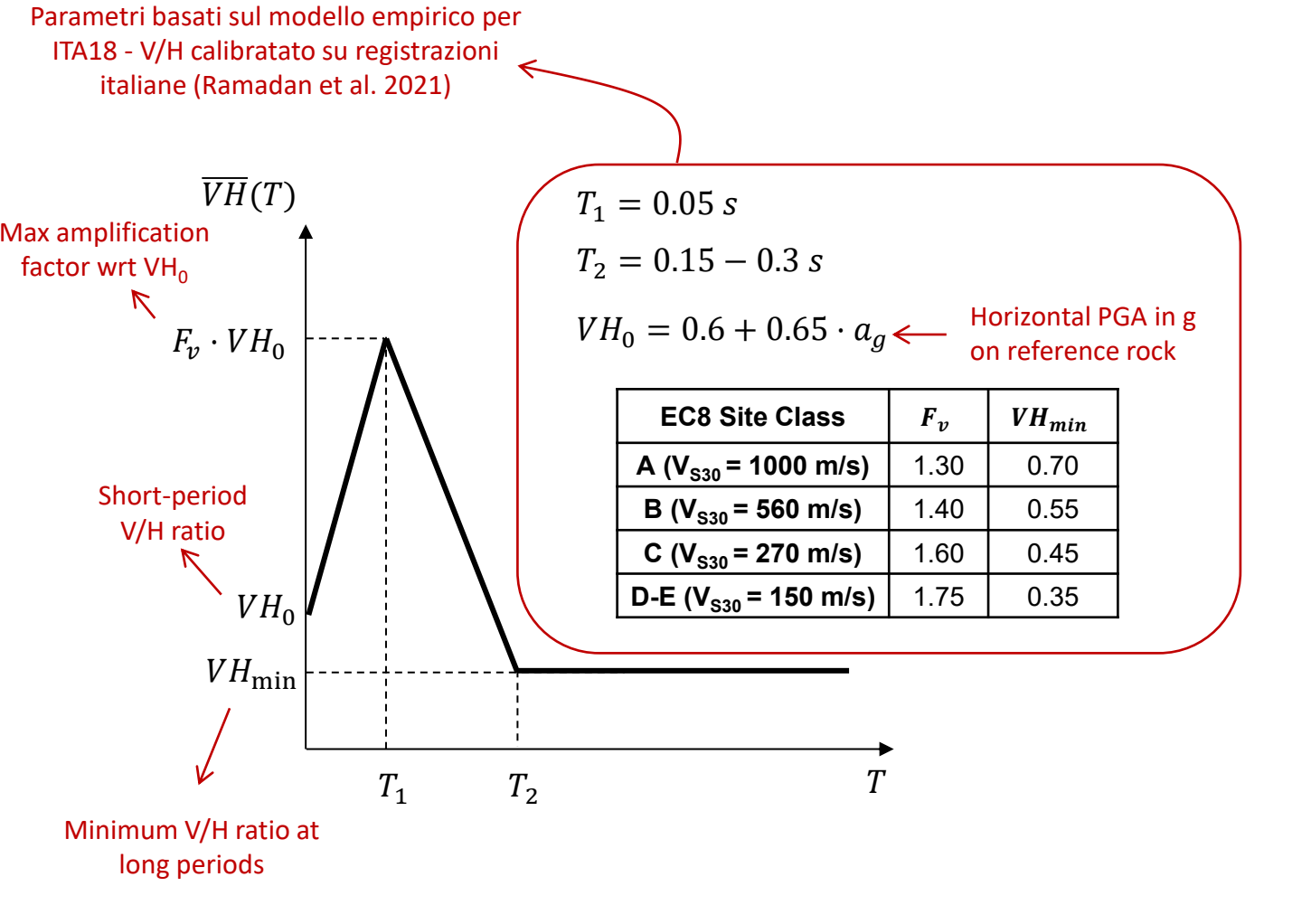
→ rapporti VH (es. ITA18-VH-NESS)



Task 4: proposta di un fattore V/H per lo spettro di progetto verticale

Tasks 2024-2026

- ✓ Criteri per la selezione multi-componente (H+V)
- ✓ Proposta di un fattore V/H, vincolato alle registrazioni, ma parametrizzato in chiave normativa



Confronto del fattore proposto con nuovo EC8, NTC18, ASCE 7/22 e rapporti V/H di UHS da PSHA per H e V

